

# Hemispherical Resonator Gyro per il Sistema di Controllo dei SuperAttenuatori di Virgo

Nicolò Grilli

19 Dicembre 2011

# Storia dell'Effetto Bryan

Il fisico inglese G. H. Bryan osservò sperimentalmente l'effetto che porta il suo nome e lo descrisse usando la teoria dell'elasticità nel 1890



PROCEEDINGS  
OF THE  
CAMBRIDGE PHILOSOPHICAL  
SOCIETY.

VOLUME VII.

OCTOBER 28, 1889—MAY 30, 1892.



# Storia degli HRG



1960s



1980s

1990s



- 1965 - L'idea di Bryan fu riscoperta per la prima volta dal Dr. David Lynch della Delco
- 1969 - Realizzazione del primo prototipo di HRG
- 1980s - Commercializzazione dei primi HRG
- 1996 - Primo HRG utilizzato in una missione spaziale

# Storia degli HRG



1960s



1980s

1990s



- 1965 - L'idea di Bryan fu riscoperta per la prima volta dal Dr. David Lynch della Delco
- 1969 - Realizzazione del primo prototipo di HRG
- 1980s - Commercializzazione dei primi HRG
- 1996 - Primo HRG utilizzato in una missione spaziale

# Storia degli HRG



1960s



1980s

1990s



- 1965 - L'idea di Bryan fu riscoperta per la prima volta dal Dr. David Lynch della Delco
- 1969 - Realizzazione del primo prototipo di HRG
- 1980s - Commercializzazione dei primi HRG
- 1996 - Primo HRG utilizzato in una missione spaziale

# Storia degli HRG



1960s



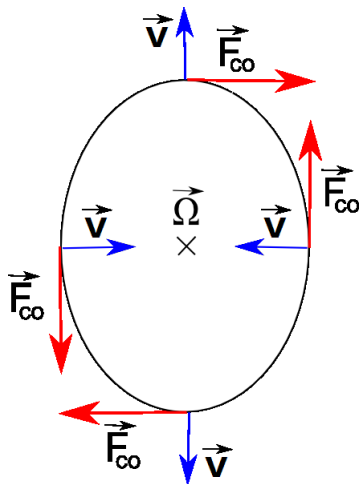
1980s

1990s



- 1965 - L'idea di Bryan fu riscoperta per la prima volta dal Dr. David Lynch della Delco
- 1969 - Realizzazione del primo prototipo di HRG
- 1980s - Commercializzazione dei primi HRG
- 1996 - Primo HRG utilizzato in una missione spaziale

# Effetto Bryan



$$\vec{F}_{CO} = -2m\vec{\Omega} \times \vec{v}$$

La forza di Coriolis crea un momento totale non nullo e fa ruotare il modo di vibrazione

# Thin Shell Theory

## Ipotesi

Piccole deformazioni:  $u_x, u_y, u_z$

- Teoria lineare
- Tensore degli stress proporzionale alle deformazioni

Mezzo Isotropo:

$$\sigma_{ij} = \frac{E}{(1+\nu)} u_{ij} + \frac{\nu E}{(1+\nu)(1-2\nu)} u_{kk} \delta_{ij}$$



# Thin Shell Theory

## Ipotesi

Piccole deformazioni:  $u_x, u_y, u_z$

- Teoria lineare
- Tensore degli stress proporzionale alle deformazioni

Mezzo Isotropo:

$$\sigma_{ij} = \frac{E}{(1+\nu)} u_{ij} + \frac{\nu E}{(1+\nu)(1-2\nu)} u_{kk} \delta_{ij}$$

# Thin Shell Theory

## Ipotesi

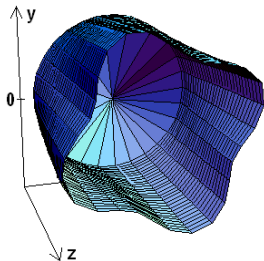
Piccole deformazioni:  $u_x, u_y, u_z$

- Teoria lineare
- Tensore degli stress proporzionale alle deformazioni

Mezzo Isotropo:

$$\sigma_{ij} = \frac{E}{(1+\nu)} u_{ij} + \frac{\nu E}{(1+\nu)(1-2\nu)} u_{kk} \delta_{ij}$$

# Modello del Cilindro Vibrante



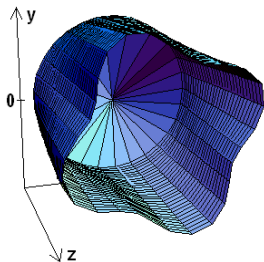
## Funzioni Incognite

$u_r, u_\theta, u_z$

$$\mathcal{L} = \frac{1}{2} a s \rho [\dot{u}_r^2 + \dot{u}_\theta^2 + 2\Omega(u_r \dot{u}_\theta - \dot{u}_r u_\theta) + 2\Omega a \dot{u}_\theta] - \frac{1}{2} \sigma_{ij} u_{ij}$$



# Modello del Cilindro Vibrante

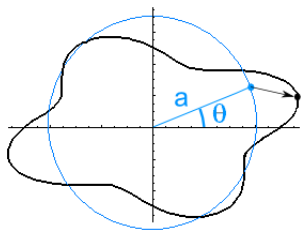


## Funzioni Incognite

$u_r, u_\theta, u_z$

$$\mathcal{L} = \frac{1}{2} a s \rho [\dot{u}_r^2 + \dot{u}_\theta^2 + 2\Omega(u_r \dot{u}_\theta - \dot{u}_r u_\theta) + 2\Omega a \dot{u}_\theta] - \frac{1}{2} \sigma_{ij} u_{ij}$$

# Soluzione del Cilindro Vibrante



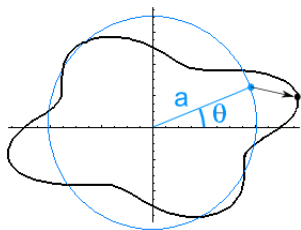
Sviluppo in serie di  
Fourier in  $z$

Soluzione formalmente  
simile ad un pendolo di  
Foucault

$$u_r = -2mA \sin(kz) \sin((\sqrt{\omega^2 + \eta^2 \Omega^2})t) \cos\left(m\left(\theta - \frac{\eta \Omega t}{m}\right)\right)$$

$$u_\theta = 2A \sin(kz) \sin((\sqrt{\omega^2 + \eta^2 \Omega^2})t) \sin\left(m\left(\theta - \frac{\eta \Omega t}{m}\right)\right)$$

# Soluzione del Cilindro Vibrante



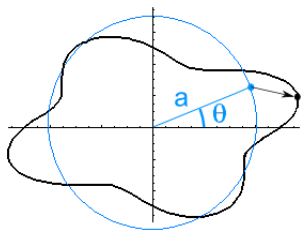
Sviluppo in serie di  
Fourier in  $z$

Soluzione formalmente  
simile ad un pendolo di  
Foucault

$$u_r = -2mA \sin(kz) \sin\left(\left(\sqrt{\omega^2 + \eta^2 \Omega^2}\right)t\right) \cos\left(m\left(\theta - \frac{\eta \Omega t}{m}\right)\right)$$

$$u_\theta = 2A \sin(kz) \sin\left(\left(\sqrt{\omega^2 + \eta^2 \Omega^2}\right)t\right) \sin\left(m\left(\theta - \frac{\eta \Omega t}{m}\right)\right)$$

# Soluzione del Cilindro Vibrante



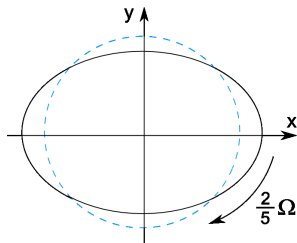
Sviluppo in serie di  
Fourier in  $z$

Soluzione formalmente  
simile ad un pendolo di  
Foucault

$$u_r = -2mA \sin(kz) \sin((\sqrt{\omega^2 + \eta^2 \Omega^2})t) \cos\left(m\left(\theta - \frac{\eta \Omega t}{m}\right)\right)$$

$$u_\theta = 2A \sin(kz) \sin((\sqrt{\omega^2 + \eta^2 \Omega^2})t) \sin\left(m\left(\theta - \frac{\eta \Omega t}{m}\right)\right)$$

# Parametri dell'Oscillazione



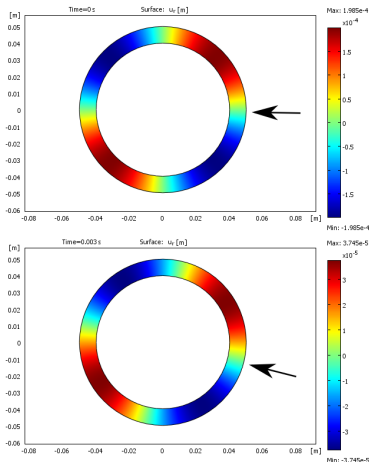
Bryan factor: 
$$\eta = -\frac{2m}{(m^2+1)}$$

Velocità angolare dei nodi dell'oscillazione: 
$$\left(-\frac{2\Omega}{(m^2+1)}\right)$$

Pulsazione dell'oscillazione: 
$$\omega^2 = \frac{E}{2\rho(1+\nu)} \left( \frac{1}{a^2} \frac{(m^2-1)^2}{(m^2+1)} + k^2 \frac{f(L)}{g(L)} \right)$$



# Simulazione Numerica dell'Effetto Bryan

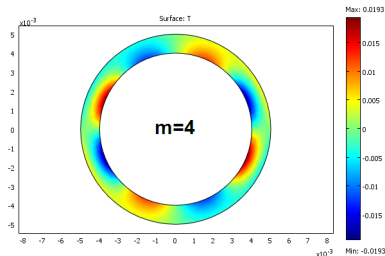


L'effetto Bryan è valido anche senza l'approssimazione "Thin Shell"

Joubert, Shatalov, Fay, *"Rotating structures and Bryan's effect"*  
Am. J. Phys. 77(6) 520-525 (2009)

# Fattore di Qualità $Q$

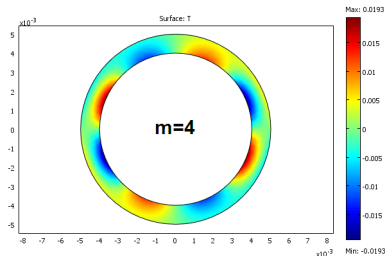
Alto  $Q \Rightarrow$  Basso noise termico



- Raffreddamento e riscaldamento dovuti alla compressione
- Passaggio di calore dalle parti calde a quelle fredde  
 $\Rightarrow$  Aumento dell'entropia
- Fenomeno più evidente a basse frequenze

# Fattore di Qualità $Q$

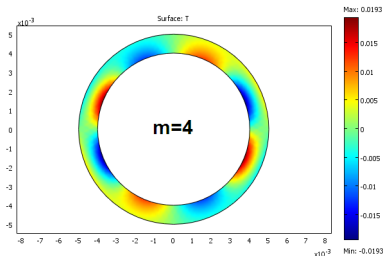
Alto  $Q \Rightarrow$  Basso noise termico



- Raffreddamento e riscaldamento dovuti alla compressione
- Passaggio di calore dalle parti calde a quelle fredde  
 $\Rightarrow$  Aumento dell'entropia
- Fenomeno più evidente a basse frequenze

# Fattore di Qualità $Q$

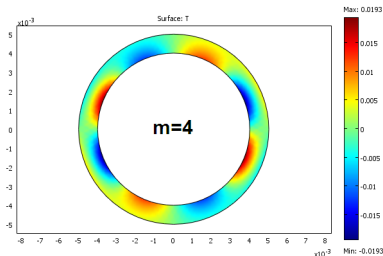
Alto  $Q \Rightarrow$  Basso noise termico



- Raffreddamento e riscaldamento dovuti alla compressione
- Passaggio di calore dalle parti calde a quelle fredde  
 $\Rightarrow$  Aumento dell'entropia
- Fenomeno più evidente a basse frequenze

# Fattore di Qualità $Q$

Alto  $Q \Rightarrow$  Basso noise termico



- Raffreddamento e riscaldamento dovuti alla compressione
- Passaggio di calore dalle parti calde a quelle fredde  
 $\Rightarrow$  Aumento dell'entropia
- Fenomeno più evidente a basse frequenze

# Descrizione Matematica della Termoelasticità

Funzioni incognite

$u_i, T$

Legge di Newton + Primo principio della termodinamica

$$\rho \ddot{u}_i = -\frac{E\alpha}{(1-2\nu)} \frac{\partial T}{\partial x_i} + \frac{E}{2(1+\nu)(1-2\nu)} \frac{\partial^2 u_l}{\partial x_i \partial x_l} + \frac{E}{2(1+\nu)} \frac{\partial^2 u_i}{\partial x_l \partial x_l}$$

$$k \nabla^2 T = \frac{E\alpha T_0}{(1-2\nu)} \frac{\partial \dot{u}_l}{\partial x_l} + \rho C_v \dot{T}$$

# Descrizione Matematica della Termoelasticità

Funzioni incognite

$u_i, T$

Legge di Newton + Primo principio della termodinamica

$$\rho \ddot{u}_i = -\frac{E\alpha}{(1-2\nu)} \frac{\partial T}{\partial x_i} + \frac{E}{2(1+\nu)(1-2\nu)} \frac{\partial^2 u_l}{\partial x_i \partial x_l} + \frac{E}{2(1+\nu)} \frac{\partial^2 u_i}{\partial x_l \partial x_l}$$

$$k \nabla^2 T = \frac{E\alpha T_0}{(1-2\nu)} \frac{\partial \dot{u}_l}{\partial x_l} + \rho C_v \dot{T}$$

# Calcolo Numerico della Dissipazione Termoelastica

Impongo soluzioni del tipo:

$$u_x = \tilde{u}_x(x, y, z)e^{\lambda t}$$

$$u_y = \tilde{u}_y(x, y, z)e^{\lambda t}$$

$$u_z = \tilde{u}_z(x, y, z)e^{\lambda t}$$

$$T = \tilde{T}(x, y, z)e^{\lambda t}$$

Autovalore

$$\lambda = -\mu + i\omega$$

Fattore di Qualità:

$$Q = \frac{1}{2\pi} \frac{\omega}{\mu}$$



# Calcolo Numerico della Dissipazione Termoelastica

Impongo soluzioni del tipo:

$$u_x = \tilde{u}_x(x, y, z)e^{\lambda t}$$

$$u_y = \tilde{u}_y(x, y, z)e^{\lambda t}$$

$$u_z = \tilde{u}_z(x, y, z)e^{\lambda t}$$

$$T = \tilde{T}(x, y, z)e^{\lambda t}$$

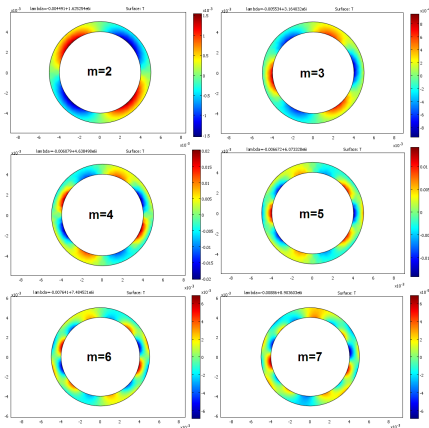
## Autovalore

$$\lambda = -\mu + i\omega$$

Fattore di Qualità:

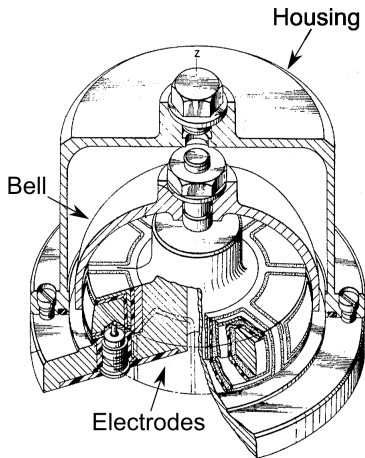
$$Q = \frac{1}{2\pi} \frac{\omega}{\mu}$$

# Calcolo Numerico della Dissipazione Termoelastica



$m$	$Q (\cdot 10^7)$
2	5.76
3	9.10
4	12.1
5	14.5
6	15.6
7	16.0

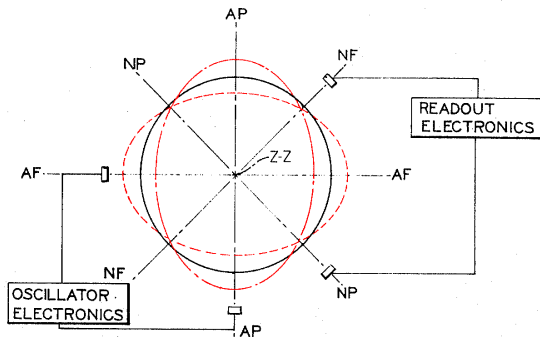
# Brevetto del Dr. Lynch



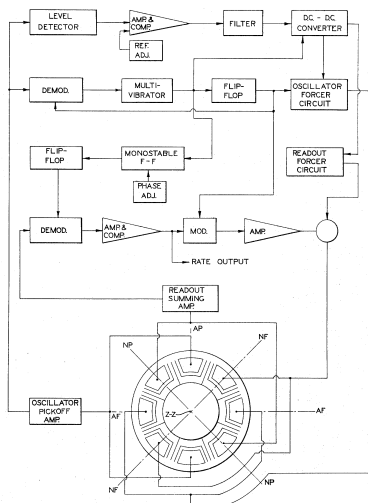
- Campana realizzata in quarzo fuso
- Medium Vacuum all'interno ( $\sim 1$  Pa)
- 8 elettrodi

# Schema degli Elettrodi

- AF = anti-nodal forcer
- AP = anti-nodal pickoff
- NP = nodal pickoff
- NF = nodal forcer



# Funzionamento



# Pregi dell'HRG

- Nessuna parte rotante
- Tempo di vita molto lungo
- Ortogonalità dei modi indotti in AF e NF
- Idealmente i modi in AF e in NF sono degeneri
- Modi nodali indotti dall'input disaccoppiati dai modi anti-nodali
- Linearità dell'output

# Pregi dell'HRG

- Nessuna parte rotante
- Tempo di vita molto lungo
- Ortogonalità dei modi indotti in AF e NF
- Idealmente i modi in AF e in NF sono degeneri
- Modi nodali indotti dall'input disaccoppiati dai modi anti-nodali
- Linearità dell'output

# Pregi dell'HRG

- Nessuna parte rotante
- Tempo di vita molto lungo
- Ortogonalità dei modi indotti in AF e NF
- Idealmente i modi in AF e in NF sono degeneri
- Modi nodali indotti dall'input disaccoppiati dai modi anti-nodali
- Linearità dell'output



# Pregi dell'HRG

- Nessuna parte rotante
- Tempo di vita molto lungo
- Ortogonalità dei modi indotti in AF e NF
- Idealmente i modi in AF e in NF sono degeneri
- Modi nodali indotti dall'input disaccoppiati dai modi anti-nodali
- Linearità dell'output

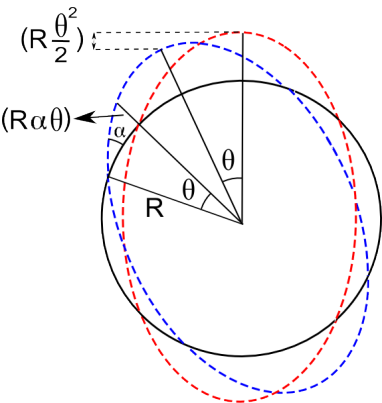
# Pregi dell'HRG

- Nessuna parte rotante
- Tempo di vita molto lungo
- Ortogonalità dei modi indotti in AF e NF
- Idealmente i modi in AF e in NF sono degeneri
- Modi nodali indotti dall'input disaccoppiati dai modi anti-nodali
- Linearità dell'output

# Pregi dell'HRG

- Nessuna parte rotante
- Tempo di vita molto lungo
- Ortogonalità dei modi indotti in AF e NF
- Idealmente i modi in AF e in NF sono degeneri
- Modi nodali indotti dall'input disaccoppiati dai modi anti-nodali
- Linearità dell'output

# Linearità dell'Output



- Lo spostamento del punto nodale è lineare in  $\theta$
- Lo spostamento del punto anti-nodale è quadratico in  $\theta$

# Non idealità

- Modi non degeneri ( $\sim 10^{-3}$  Hz)
- Centro di massa non fisso
- Forze applicate sulla campana
- Dissipazione sugli elettrodi

# Non idealità

- Modi non degeneri ( $\sim 10^{-3}$  Hz)
- Centro di massa non fisso
- Forze applicate sulla campana
- Dissipazione sugli elettrodi

# Non idealità

- Modi non degeneri ( $\sim 10^{-3}$  Hz)
- Centro di massa non fisso
- Forze applicate sulla campana
- Dissipazione sugli elettrodi

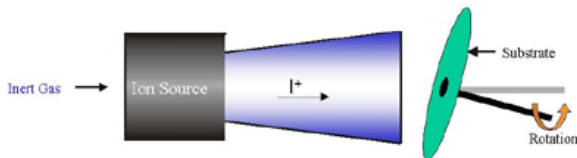
# Non idealità

- Modi non degeneri ( $\sim 10^{-3}$  Hz)
- Centro di massa non fisso
- Forze applicate sulla campana
- Dissipazione sugli elettrodi



# Fabbricazione

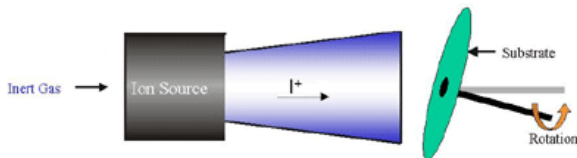
La campana in quarzo viene fabbricata utilizzando l'ion beam etching:



- una sorgente di ioni viene prodotta partendo da un gas neutro
- essa viene collimata da opportuni elettrodi
- il raggio di ioni è in grado di incidere il materiale con precisione nanometrica

# Fabbricazione

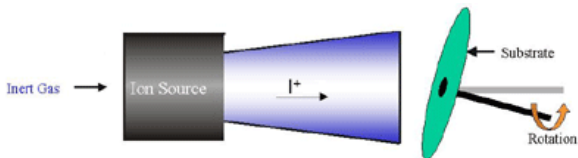
La campana in quarzo viene fabbricata utilizzando l'ion beam etching:



- una sorgente di ioni viene prodotta partendo da un gas neutro
- essa viene collimata da opportuni elettrodi
- il raggio di ioni è in grado di incidere il materiale con precisione nanometrica

# Fabbricazione

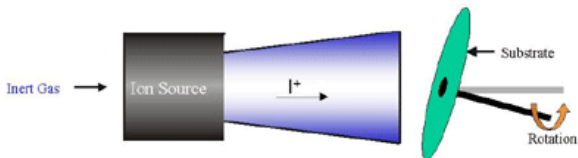
La campana in quarzo viene fabbricata utilizzando l'ion beam etching:



- una sorgente di ioni viene prodotta partendo da un gas neutro
- essa viene collimata da opportuni elettrodi
- il raggio di ioni è in grado di incidere il materiale con precisione nanometrica

# Fabbricazione

La campana in quarzo viene fabbricata utilizzando l'ion beam etching:



- una sorgente di ioni viene prodotta partendo da un gas neutro
- essa viene collimata da opportuni elettrodi
- il raggio di ioni è in grado di incidere il materiale con precisione nanometrica

# Precisione Raggiunta

- Precisione della superficie della campana dell'ordine dei nm
- Possibilità di rimuovere masse di  $10^{-7}$  g da un punto preciso della superficie
- Modi non degeneri:  $\Delta f < 0.005$  Hz

# Precisione Raggiunta

- Precisione della superficie della campana dell'ordine dei nm
- Possibilità di rimuovere masse di  $10^{-7}$  g da un punto preciso della superficie
- Modi non degeneri:  $\Delta f < 0.005$  Hz

# Precisione Raggiunta

- Precisione della superficie della campana dell'ordine dei nm
- Possibilità di rimuovere masse di  $10^{-7}$  g da un punto preciso della superficie
- Modi non degeneri:  $\Delta f < 0.005$  Hz

# Caratteristiche Tecniche della Campana

Frequenza di operazione	8 kHz
Diametro	30 mm
Altezza	32 mm
Fattore di qualità	$1.5 \cdot 10^7$





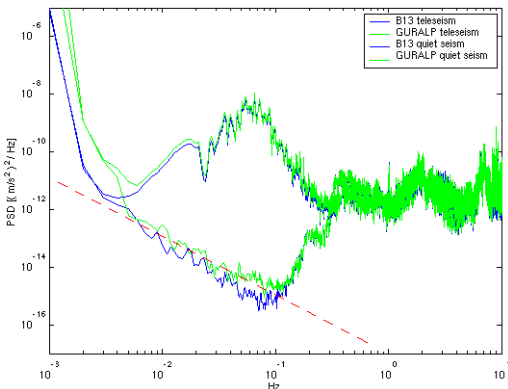
# Caratteristiche Tecniche HRG

Dimensione caratteristica	40 mm
Potenza dissipata	1.5 W
Life Time	15 anni



# Sensibilità richiesta

Ground acceleration power spectrum density



$$S_a(f) = \frac{10^{-17}}{f^2} \frac{(m/s^2)^2}{Hz}$$

$$S_\theta(f) = \frac{S_a(f)}{g^2} \approx \frac{10^{-19}}{f^2} \frac{(rad)^2}{Hz}$$

# Sensibilità HRG

- Noise bianco nella velocità angolare
- Random walk angolare:  $\Delta\theta \propto \sqrt{t}$

Per i giroscopi HRG della miglior qualità in commercio:

$$S_{\omega}(f) = 1 \cdot 10^{-16} \frac{(\text{rad/s})^2}{\text{Hz}}$$

$$S_{\theta}(f) = \frac{2.5 \cdot 10^{-18}}{f^2} \frac{(\text{rad})^2}{\text{Hz}}$$

# Sensibilità HRG

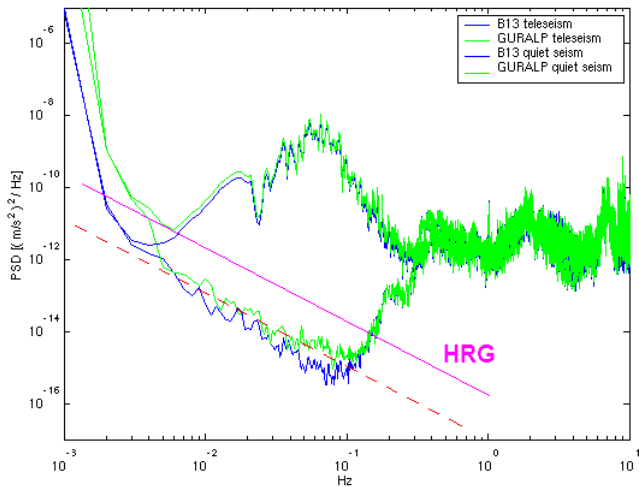
- Noise bianco nella velocità angolare
- Random walk angolare:  $\Delta\theta \propto \sqrt{t}$

Per i giroscopi HRG della miglior qualità in commercio:

$$S_{\omega}(f) = 1 \cdot 10^{-16} \frac{(\text{rad/s})^2}{\text{Hz}}$$

$$S_{\theta}(f) = \frac{2.5 \cdot 10^{-18}}{f^2} \frac{(\text{rad})^2}{\text{Hz}}$$

# Sensibilità HRG



# Conclusione

I giroscopi HRG potrebbero essere una soluzione per realizzare un sistema di controllo del ground tilt nei superattenuatori di Virgo